



Detector Physics of Resistive Plate Chambers

*Disputation von
Christian Lippmann
über die*

Detektorphysik von Widerstandsplattenkammern (RPCs)

- *Über RPCs*
- *Problemstellung*
- *Simulation von RPCs*
- *Ergebnisse*
 - *Zeitauflösung, Effizienz*
 - *Ladungsspektren*
- *Detaillierte 2-D Simulationen einzelner Elektronenlawinen*
- *Zusammenfassung + Schlussfolgerungen*

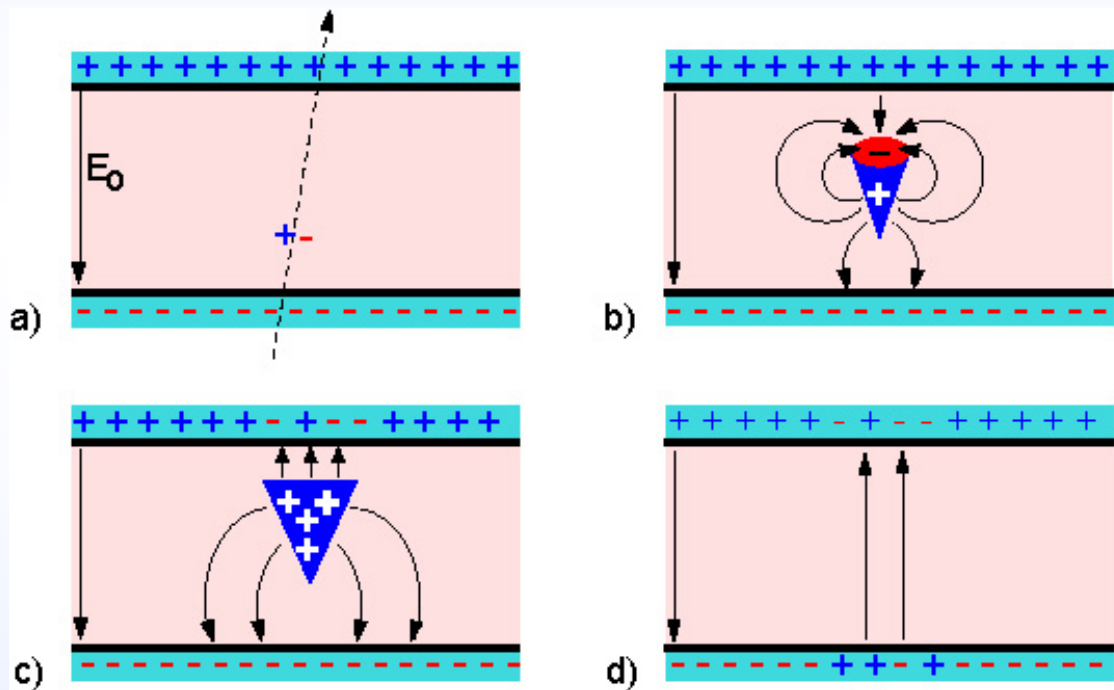


Über RPCs



Entwickelt von R. Santonico, R. Cardarelli

[NIM 187 (1981) 377, NIM A263 1988) 20]



- a) **Gasionisation**
- b) **Lawinenentwicklung, Raumladungseffekte**
- c) **Ionendriftgeschwindigkeit langsamer**
- d) **Ladungen in den Elektrodenplatten beeinflussen elektrisches Feld**
(Zeitkonstante: $\tau = \rho \epsilon_0 \epsilon_r$)

ρ = Volumenwiderstand
 ϵ_0 = Dielektr. Konstante
 ϵ_r = rel. Permittivität

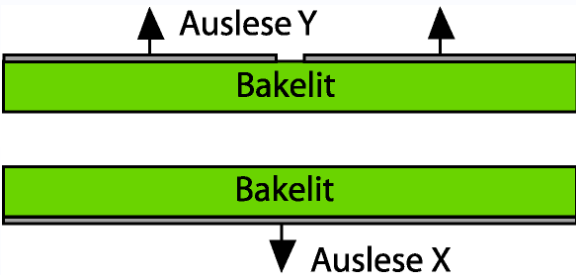


Verschiedene Konfigurationen



Trigger RPC

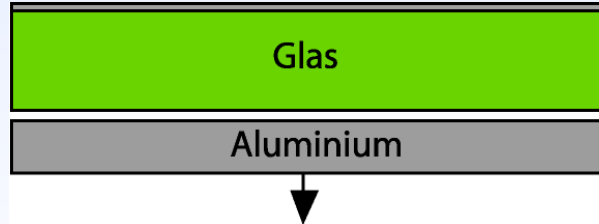
R. Santonico, R. Cardarelli



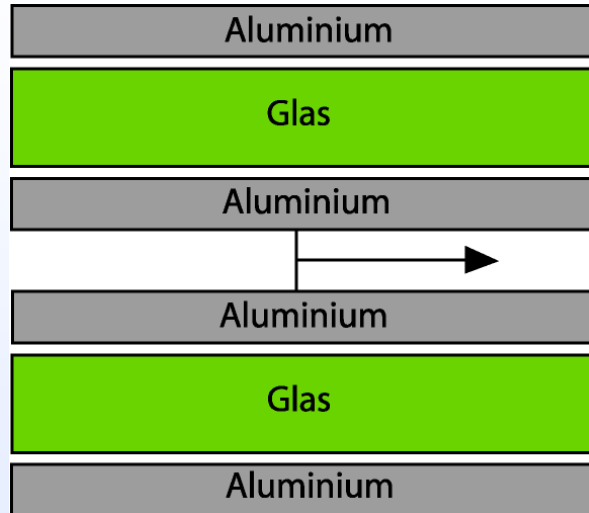
- ◆ **2mm Gasspalte**
- ◆ Resistives Material: 2mm Bakelit, $\rho \approx 10^{10} \Omega\text{cm}$
- ◆ $\text{C}_2\text{F}_4\text{H}_2 / \text{i-C}_4\text{H}_{10} / \text{SF}_6$ (96.7/3/0.3)
- ◆ HV: 10kV \Rightarrow **E: $\approx 50\text{kV/cm}$**

Timing RPC

P. Fonte, V. Peskov et al.

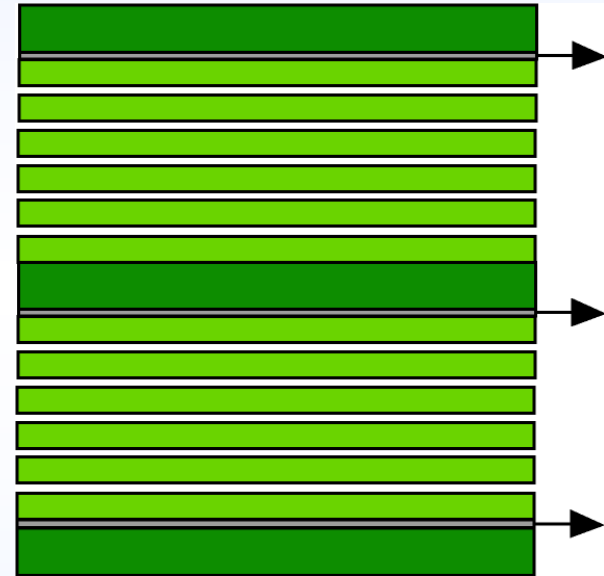


- ◆ **0.3mm Gasspalte**
- ◆ Resistives Material: 3mm Glas, $\rho \approx 2 \times 10^{12} \Omega\text{cm}$
- ◆ 2mm Aluminium
- ◆ $\text{C}_2\text{F}_4\text{H}_2 / \text{i-C}_4\text{H}_{10} / \text{SF}_6$ (85/5/10)
- ◆ HV: 3(6)kV \Rightarrow **E: $\approx 100\text{kV/cm}$**



Multi Gap Timing RPC

M.C.S. Williams et al.



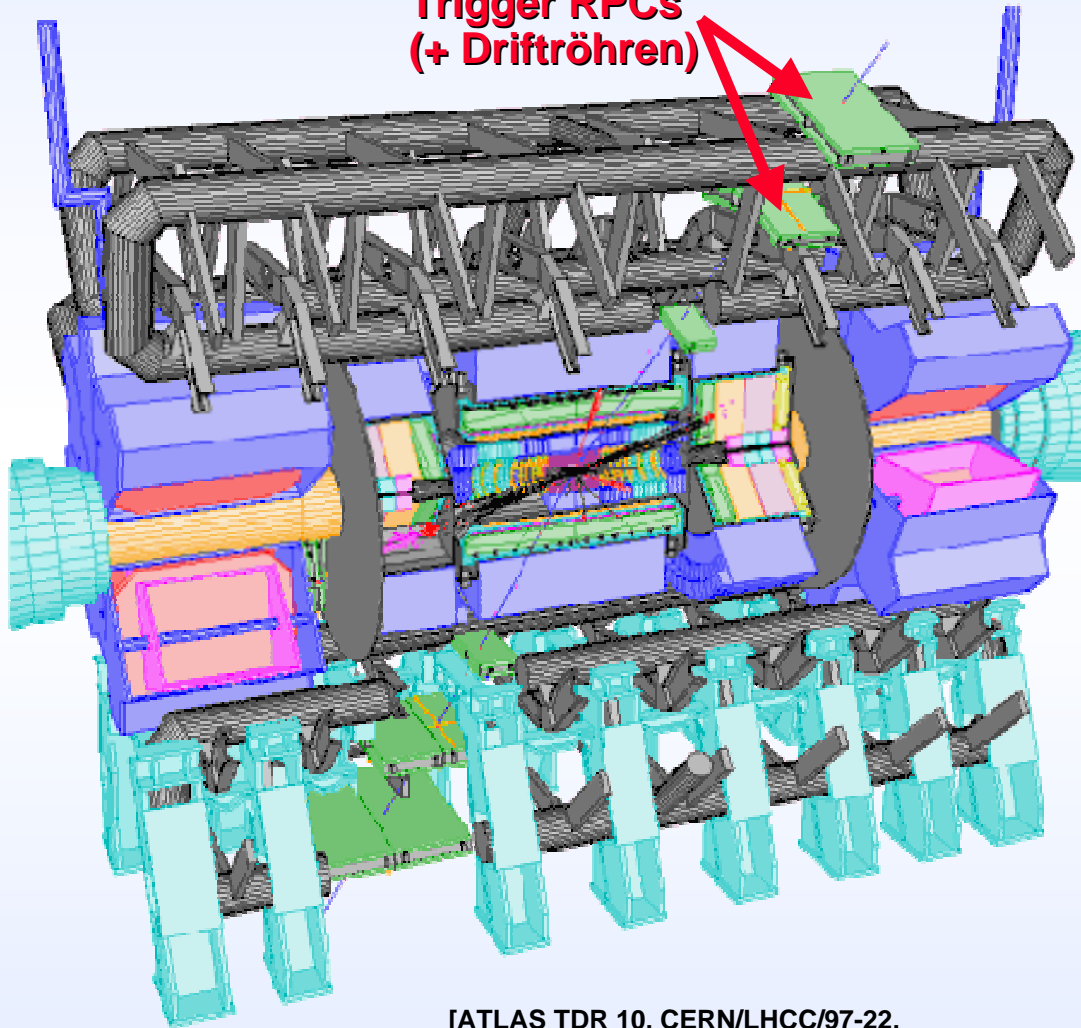
- ◆ **0.25mm Gasspalte**
- ◆ Resistives Material: 0.4mm Glas, $\rho \approx 10^{13} \Omega\text{cm}$
- ◆ $\text{C}_2\text{F}_4\text{H}_2 / \text{i-C}_4\text{H}_{10} / \text{SF}_6$ (90/5/5)
- ◆ HV: 12.5kV \Rightarrow **E: $\approx 100\text{kV/cm}$**



Ein Experiment mit Trigger RPCs: ATLAS am CERN

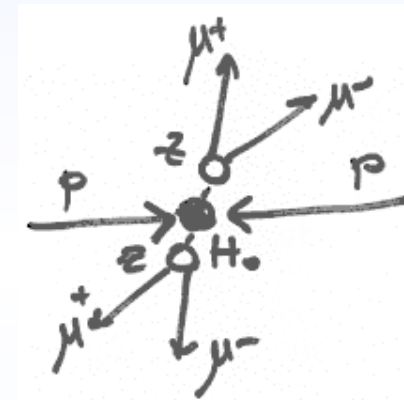


Trigger RPCs
(+ Driftröhren)



[ATLAS TDR 10, CERN/LHCC/97-22,
<http://atlas.web.cern.ch/Atlas/Welcome.html>]

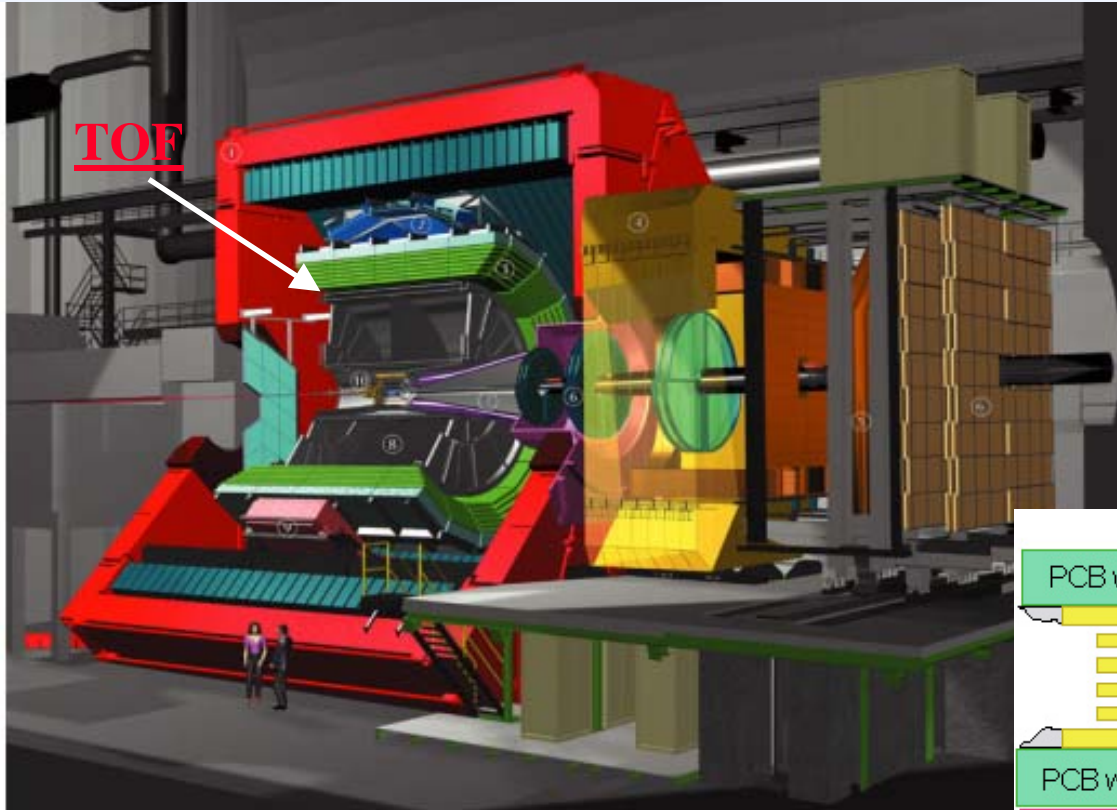
- ◆ p-p Kollisionen bei 14TeV Energie, z. B. Suche nach dem Higgs-Teilchen H_0 :



- ◆ RPCs im Muonen-Trigger
- ◆ Man verwendet **Trigger RPCs**
 - Fläche: 3650m²
 - 355.000 Auslesekanäle
 - Nachweiseffizienz: >95%
 - Zeitauflösung: <3ns
 - Ratenfestigkeit: bis 1kHz/cm²

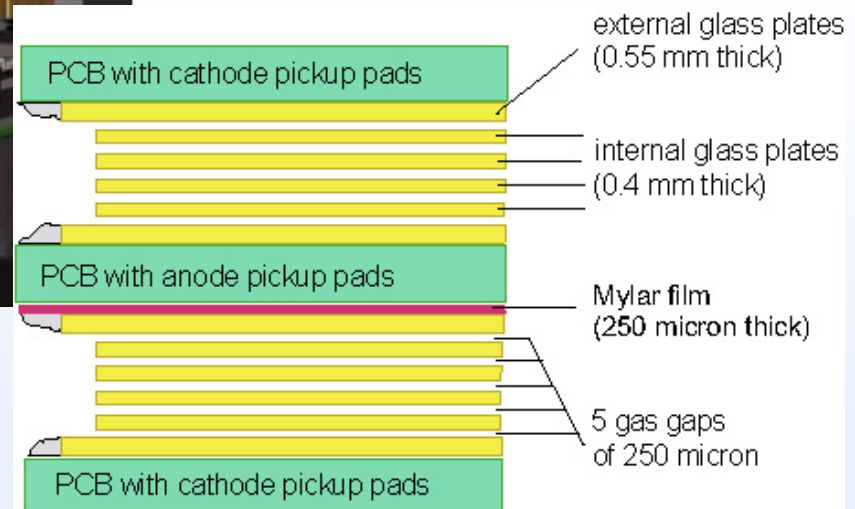


Ein Experiment mit Timing RPCs: ALICE am CERN



- ◆ Man verwendet **Multigap Timing RPCs** zur Teilchenidentifizierung (e/π -, π/K -, K/p - Separation) über die Flugzeit (**TOF**)

- Fläche: 176m²
- 160.000 Auslesezellen
- Nachweiseffizienz: >98%
- Zeitauflösung: <70ps
- Ratenfestigkeit: bis 50Hz/cm²



[<http://alice.web.cern.ch/Alice>]



Problemstellung



Für RPCs mit 0.3mm breiten Gasspalten gefüllt mit purem Isobutan oder einer $C_2F_4H_2$ Gasmischung findet man $\approx 75\%$ Nachweiseffizienz.

Dies verlangt etwa 10 Primärionisationszentren pro mm und einen Townsend Koeffizienten um 100/mm.

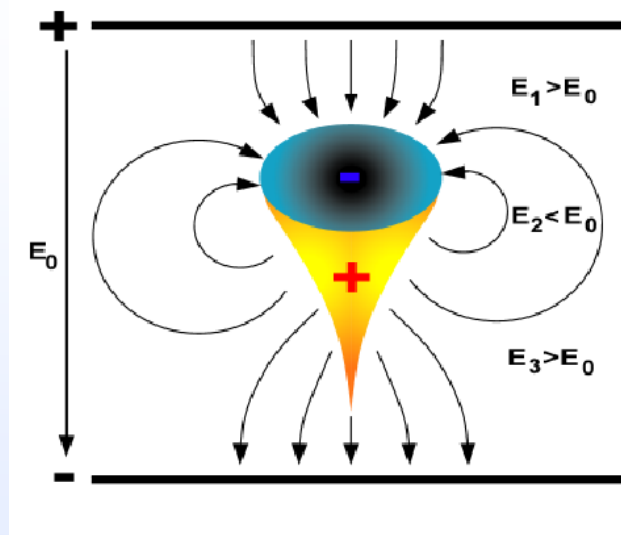
Ein häufig verwendeter Wert für Isobutan ist 5 Primärionisationszentren pro mm [SAULI, CERN 77-09]. Wie erklärt sich so die Effizienz?

Sogar wenn die genannten Werte zuträfen: Die erwartete mittlere induzierte Ladung läge um 5×10^7 pC, während man Werte um 0.5 pC misst.

Kann ein **Raumladungseffekt** zu einem derart großen Unterdrückungsfaktor führen?

Wenn es Regionen mit erniedrigtem elektrischem Feld gibt, so muss es auch Regionen mit erhöhtem Feld geben: Hier erwartet man extrem starke Multiplikation.

Können so die mittleren Ladungen erklärt werden?





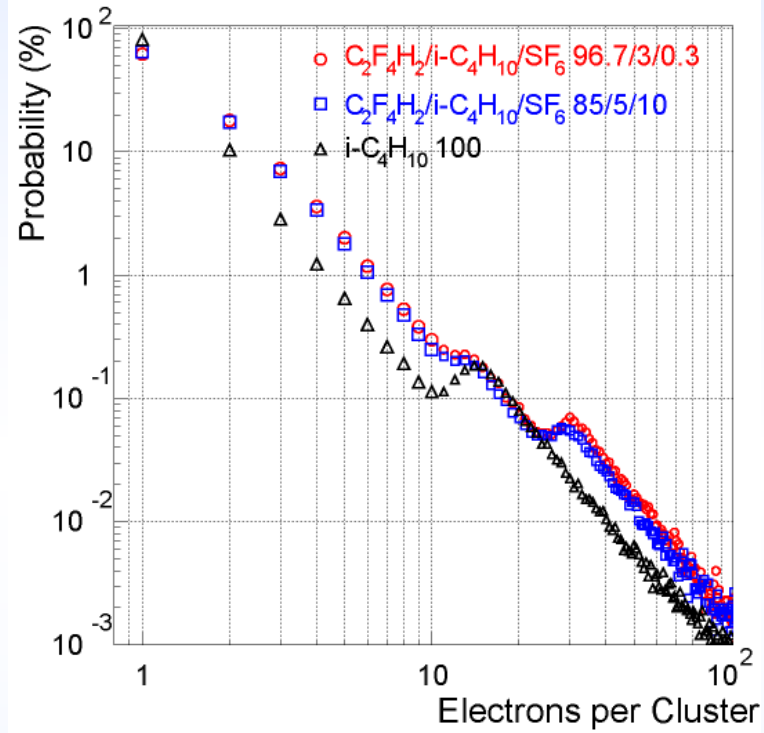
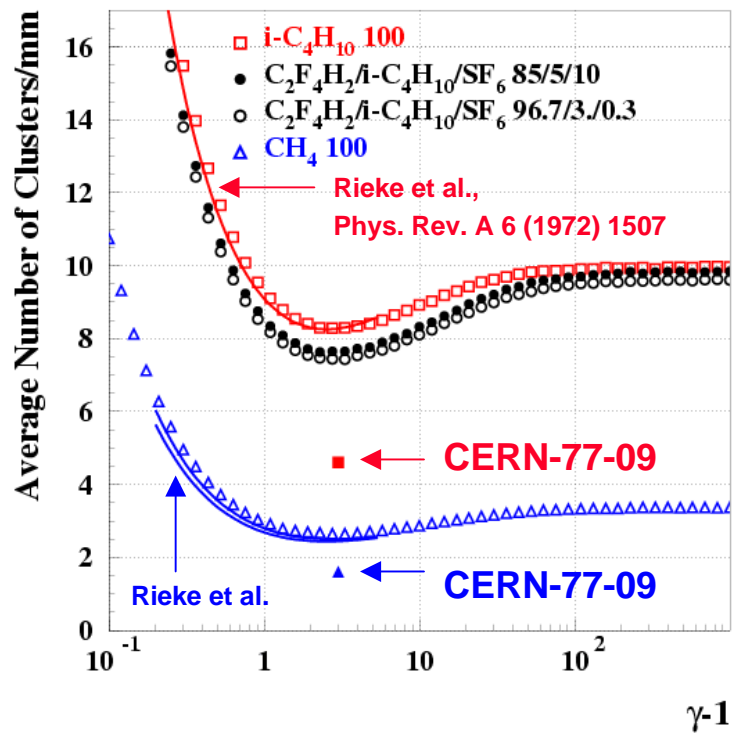
Input für Simulationen



- ◆ Primärionisation: **HEED** (I. Smirnov)
- ◆ Townsend- und Elektronenanlagerungskoeffizienten: **IMONTE**
(S. Biagi)
- ◆ Diffusionskoeffizienten und Driftgeschwindigkeit: **MAGBOLTZ 2**
(S. Biagi)
- ◆ Lawinenfluktuationen: **W. Legler** (1960)
- ◆ Raumladungsfeld: analytische Lösungen [CERN-OPEN-2001-074]
- ◆ Elektronik: Analytisch
- ◆ Induziertes Signal: **S. Ramo** (1939) [PROC. IRE 27 (1939), 58]



Primärionisationsparameter (HEED)

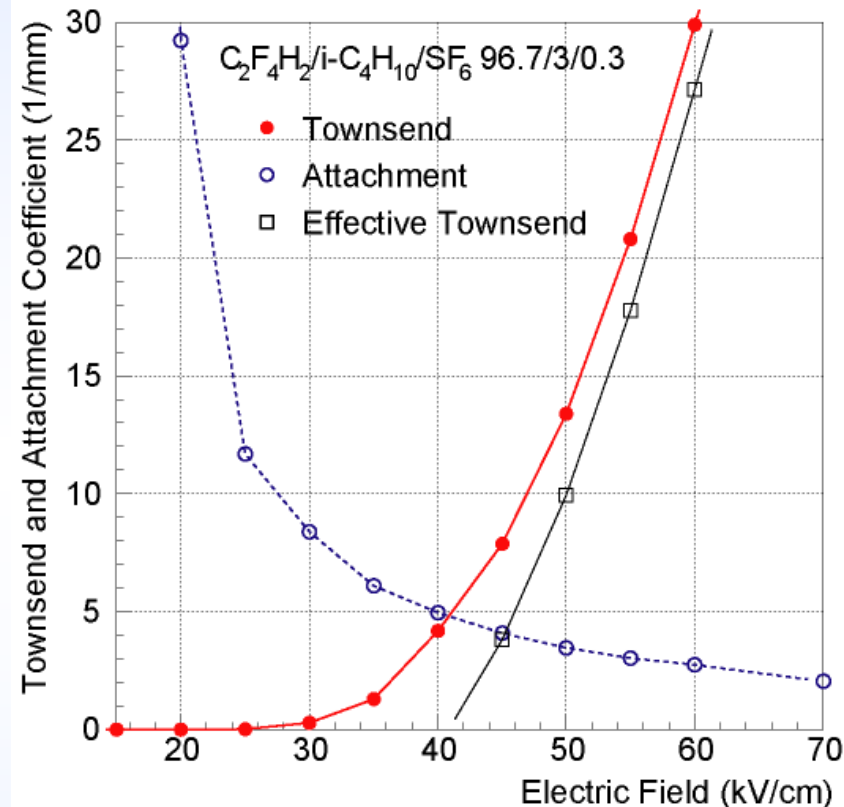
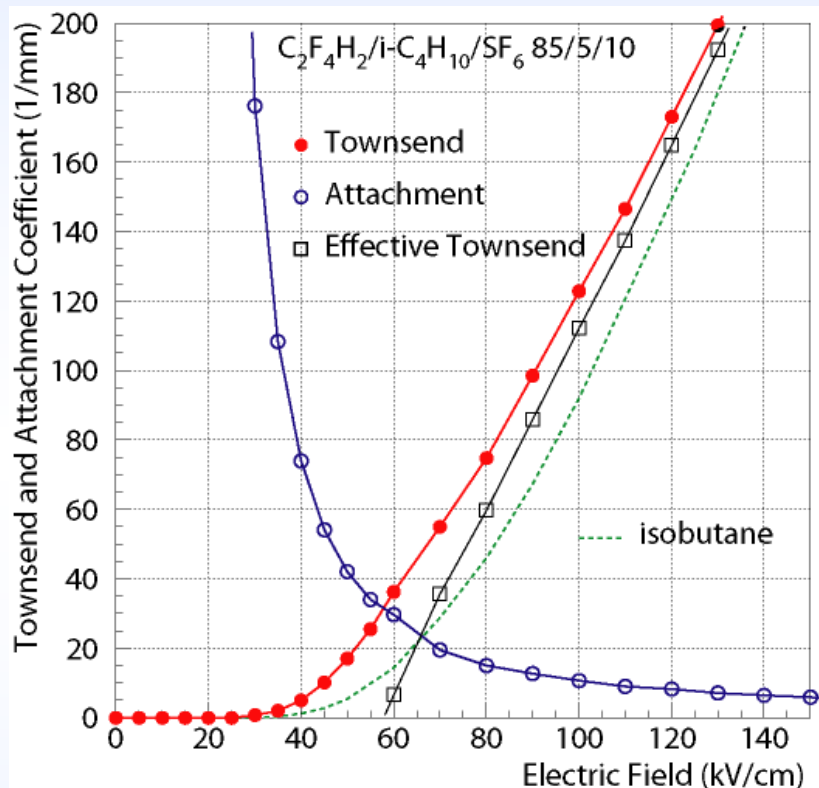


- Mittlere Anzahl der Primärionisationszentren / mm
- $C_2F_4H_2$ gas:
Für ein 7GeV Pion ($\gamma \approx 50$) findet man etwa 10/mm

- Anzahl der freigesetzten Elektronen pro Primärionisationszentrum
- $C_2F_4H_2$ -Gas: Im Mittel etwa
 - 2.6 Elektronen (Timing RPC)
 - 2.8 Elektronen (Trigger RPC)



Mehr Gasparameter (IMONTE)



- ◆ Effektiver Townsend Koeffizient für **Timing RPC**:
 $\approx 110/\text{mm}$

- ◆ Effektiver Townsend Koeffizient für **Trigger RPC**:
 $\approx 10/\text{mm}$



Lawinenfluktuationen



[W. Legler, 1960: Die Statistik der Elektronenlawinen in elektronegativen Gasen bei hohen Feldstärken und bei grosser Gasverstärkung]

Annahme: Ionisationswahrscheinlichkeit ist unabhängig von der letzten Ionisation

$$\frac{dP(n, x)}{dx} = -P(n, x)n(\alpha + \eta) + P(n - 1, x)(n - 1)\alpha + P(n + 1, x)(n + 1)\eta$$

General solution:

$$\bar{n}(x) = e^{(\alpha - \eta)x} \quad k = \frac{\eta}{\alpha}$$

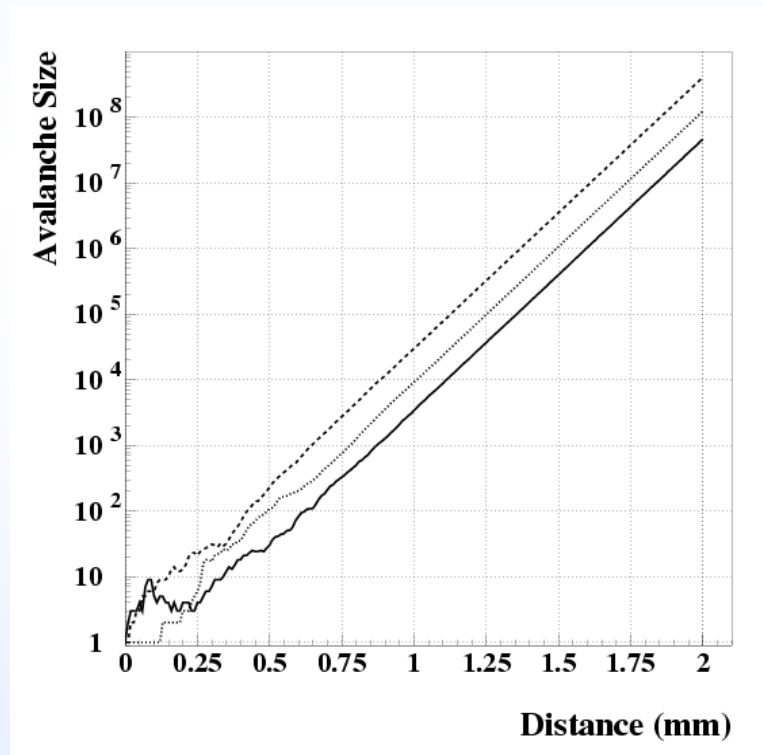
$$P(n, x) = k \frac{\bar{n}(x) - 1}{\bar{n}(x) - k} \quad n = 0$$

$$= \bar{n}(x) \left(\frac{1 - k}{\bar{n}(x) - k} \right)^2 \left(\frac{\bar{n}(x) - 1}{\bar{n}(x) - k} \right)^{n-1} \quad n > 0$$

Variance:

$$\sigma^2(x) = \left(\frac{1 + k}{1 - k} \right) \bar{n}(x) (\bar{n}(x) - 1)$$

Lawinen ausgelöst durch ein einzelnes Elektron:

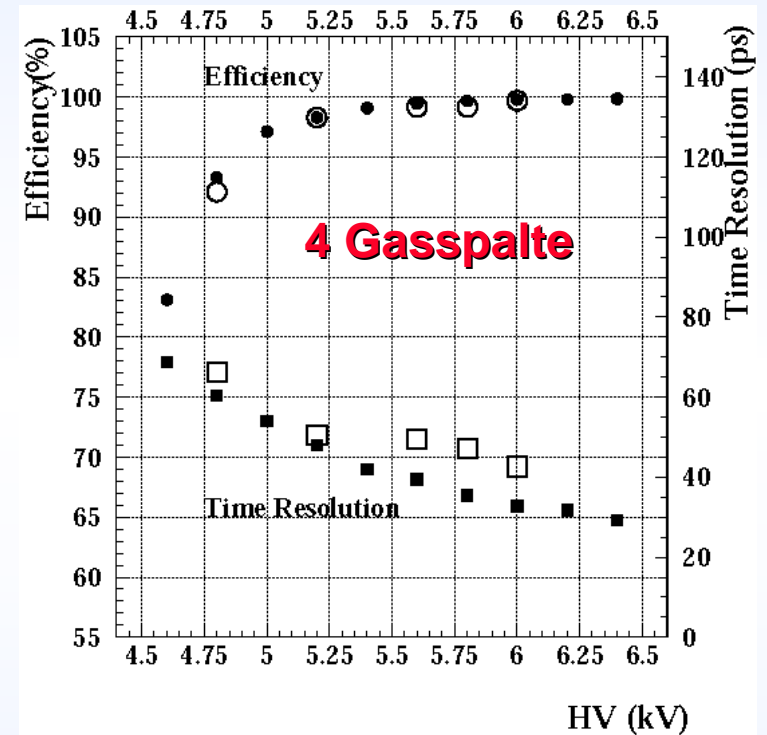
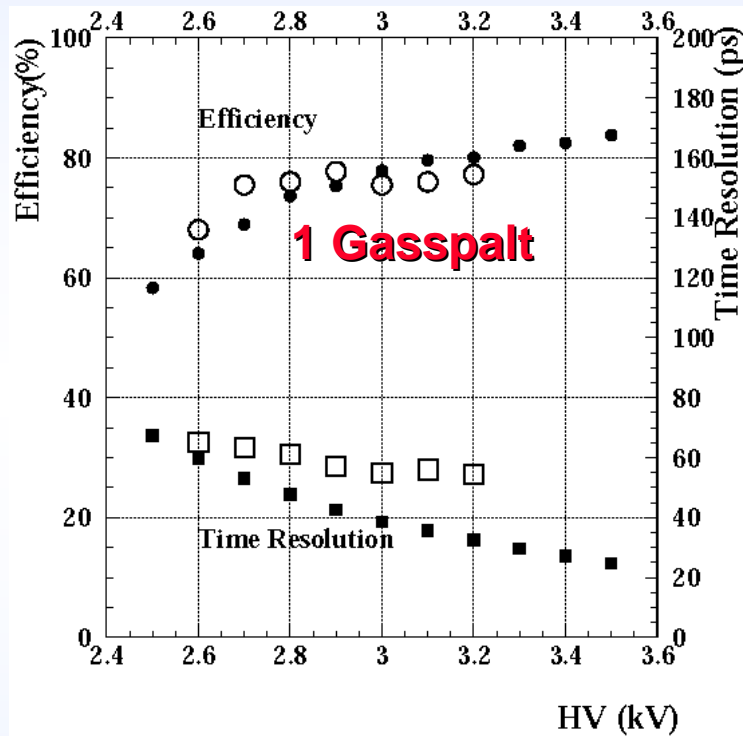


α = Townsendkoeffizient,
 η = Elektronenanlagerungskoeffizient



1D-Simulationsergebnisse: Effizienz und Zeitauflösung

Beispiel: Timing RPC



- ◆ Offene Symbole: Messungen, gefüllte Symbole: Simulation
- ◆ (7GeV Pionen, 20fC Schwellwert, 200ps Verstärker-Anstiegszeit, 1fC Noise, T=296.15K, p=970mb)



Lawinenladungen (kein Raumladungseffekt simuliert)

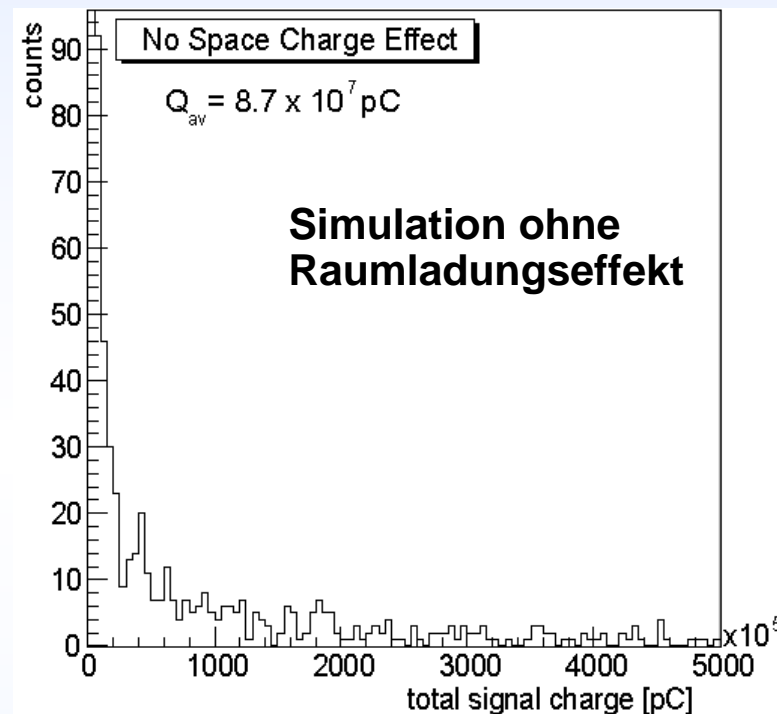


Mittlere induzierte Ladungen (0.3mm Timing RPC):

	simuliert	gemessen
$Q_{ind} =$	$5 \cdot 10^7 \text{ pC}$	0.5 pC

Mittlere induzierte Ladungen (2mm Trigger RPC):

	simuliert	gemessen
$Q_{ind} =$	$8 \cdot 10^3 \text{ pC}$	2 pC



Simuliertes Spektrum ist exponentiell abfallend!

Messungen zeigen aber einen Scheitelpunkt!!

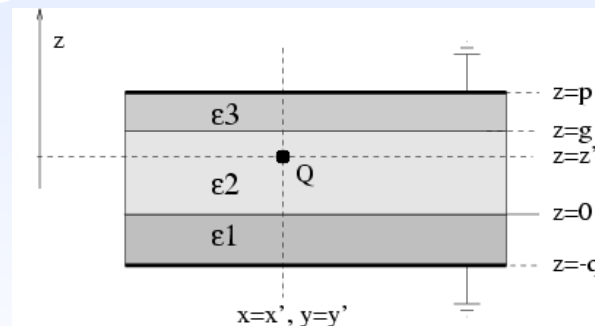
⇒ Raumladungs-/ Sättigungseffekt?



Raumladungsfeld



Benötigt wird eine analytische Lösung für das elektrische Feld einer Punktladung in einer RPC.



$$\Phi(\rho, \phi, z) = \frac{Q}{4\pi\epsilon_2} \left[\frac{1}{\sqrt{P^2 + (z - z')^2}} + \frac{(\epsilon_2 - \epsilon_3)}{(\epsilon_2 + \epsilon_3)\sqrt{P^2 + (2g - z - z')^2}} - \frac{(\epsilon_1 - \epsilon_2)}{(\epsilon_1 + \epsilon_2)\sqrt{P^2 + (z + z')^2}} \right. \\ \left. + \frac{1}{(\epsilon_1 + \epsilon_2)(\epsilon_2 + \epsilon_3)} \int_0^\infty d\kappa J_0(\kappa P) \frac{R(\tau, z, z')}{D(\kappa)} \right], \quad 0 \leq z \leq g$$

$$D(\kappa) = (\epsilon_1 + \epsilon_2)(\epsilon_2 + \epsilon_3) (1 - e^{-2\kappa(p+q)}) - (\epsilon_1 - \epsilon_2)(\epsilon_2 + \epsilon_3)(e^{-2\kappa p} - e^{-2\kappa q}) \\ - (\epsilon_1 + \epsilon_2)(\epsilon_2 - \epsilon_3)(e^{-2\kappa(p-g)} - e^{-2\kappa(q+g)}) + (\epsilon_1 - \epsilon_2)(\epsilon_2 - \epsilon_3)(e^{-2\kappa g} - e^{-2\kappa(p+q-g)})$$

$$R(\kappa; z, z') = (\epsilon_1 + \epsilon_2)^2(\epsilon_2 + \epsilon_3)^2 [e^{\kappa(-2p-2q+z-z')} + e^{\kappa(-2p-2q-z+z')}] \\ - (\epsilon_1 + \epsilon_2)^2 (\epsilon_2 - \epsilon_3)^2 e^{\kappa(-4g-2q+z+z')} - 4\epsilon_1\epsilon_2(\epsilon_2 + \epsilon_3)^2 e^{\kappa(-2q-z-z')} \\ - (\epsilon_1 - \epsilon_2)^2 (\epsilon_2 + \epsilon_3)^2 e^{\kappa(-2p-z-z')} - (\epsilon_1^2 - \epsilon_2^2) (\epsilon_2 - \epsilon_3)^2 e^{\kappa(-4g+z+z')} \\ + (\epsilon_1^2 - \epsilon_2^2) (\epsilon_2 + \epsilon_3)^2 [-e^{\kappa(-2p-2q-z-z')} + e^{\kappa(-2p+z-z')} + e^{\kappa(-2p-z+z')}] \\ - 4 (\epsilon_1^2 - \epsilon_2^2) \epsilon_2\epsilon_3 e^{\kappa(-2p-2q+z+z')} - 4 (\epsilon_1 + \epsilon_2)^2 \epsilon_2\epsilon_3 e^{\kappa(-2p+z+z')} \\ + (\epsilon_1 - \epsilon_2)^2 (\epsilon_2^2 - \epsilon_3^2) e^{\kappa(-2g-z-z')} + 4\epsilon_1\epsilon_2 (\epsilon_2^2 - \epsilon_3^2) e^{\kappa(2g-2p-2q-z-z')} \\ + (\epsilon_1 + \epsilon_2)^2 (\epsilon_2^2 - \epsilon_3^2) [-e^{\kappa(-2g-2q+z-z')} - e^{\kappa(-2g-2q-z+z')} + e^{\kappa(-2g-2p-2q+z+z')}] \\ + (\epsilon_1^2 - \epsilon_2^2) (\epsilon_2^2 - \epsilon_3^2) [e^{\kappa(-2g-2q-z-z')} - e^{\kappa(-2g+z-z')} - e^{\kappa(-2g-z+z')} + e^{\kappa(-2g-2p+z+z')}]$$



“1.5-D” Simulation



- Die Lawine wird simuliert, indem ihre Entwicklung in Zeitschritte unterteilt wird, und das Raumladungsfeld an jedem Punkt innerhalb der Lawine zu jedem Schritt berechnet wird.
- Die Raumladung wird in Gaußischen radialen Ladungsverteilungen untergebracht. Die Lawinensimulation erfolgt aber nur in einer Dimension (longitudinal)
⇒ “1.5-D Modell”.
- Die genannte Prozedur erlaubt eine dynamische Berechnung der Gasparameter (Townsend Koeffizient, Elektronenanlagerungskoeffizient, Driftgeschwindigkeit).

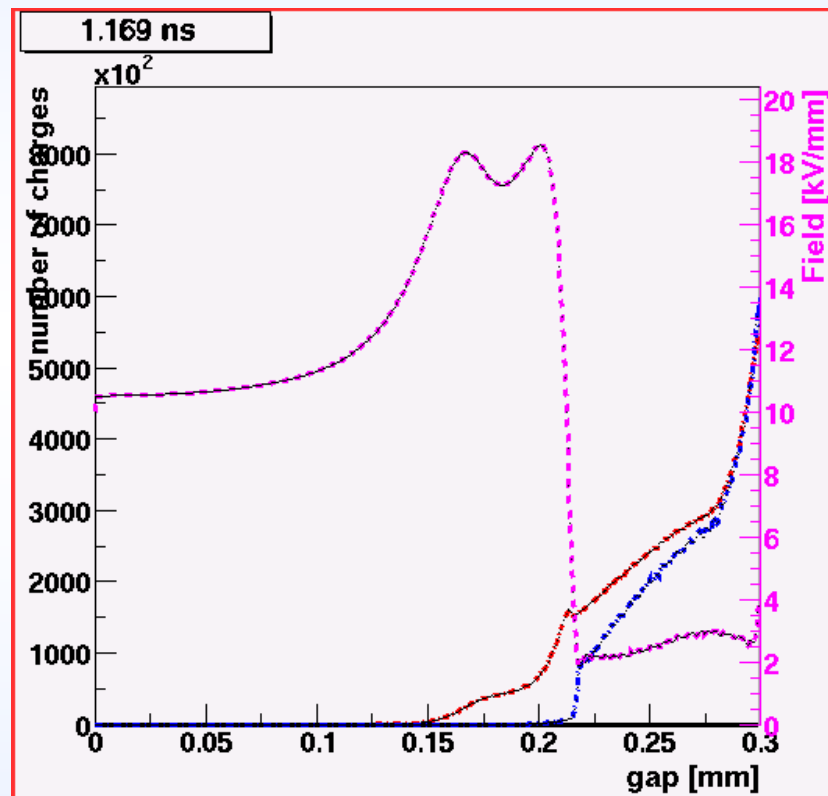
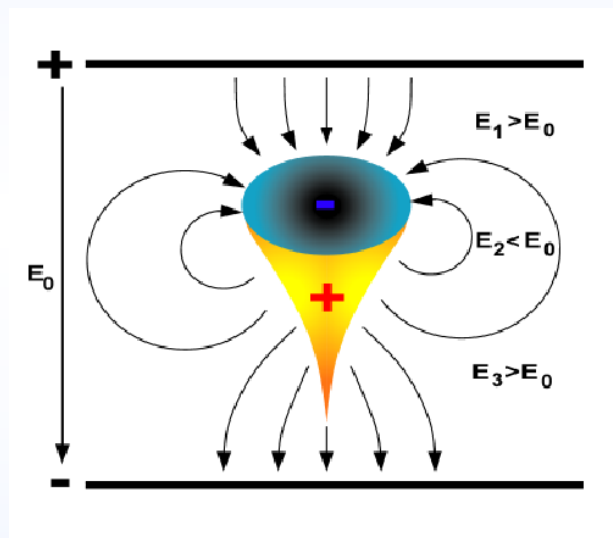


Raumladungseffekte



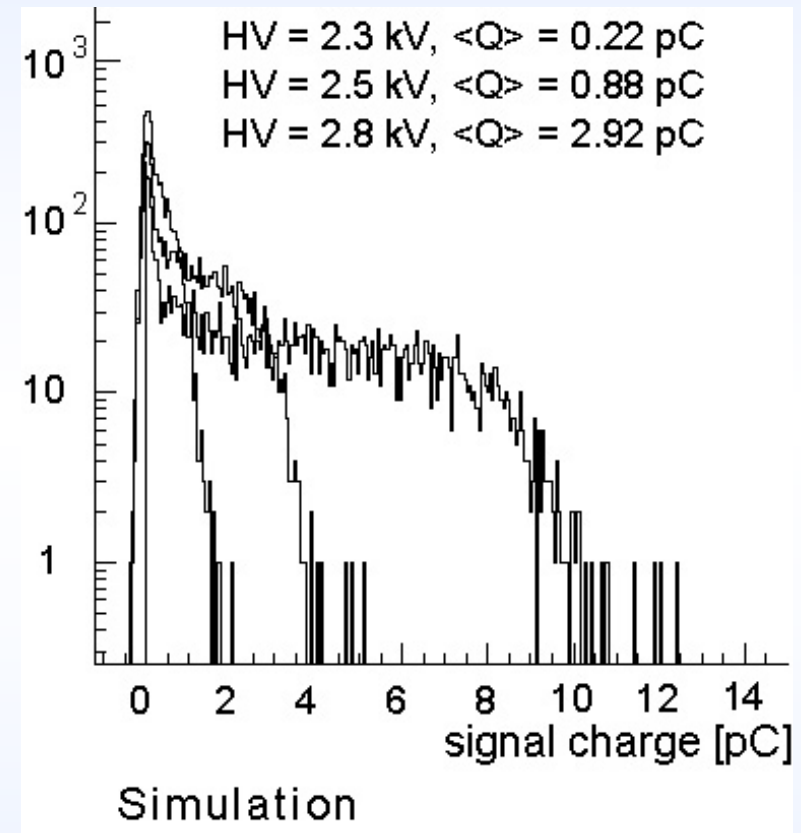
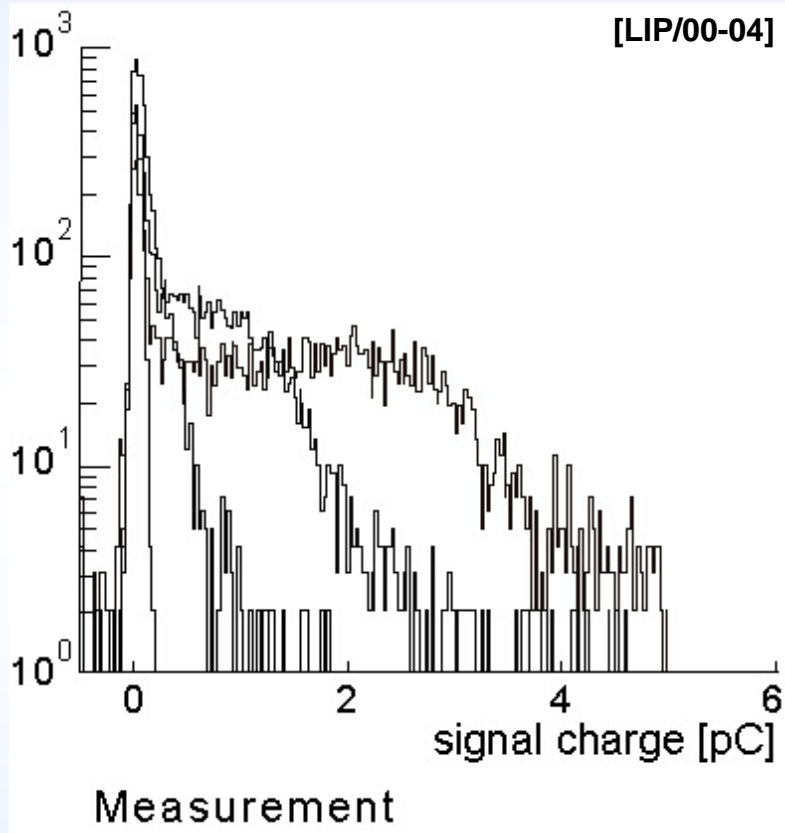
0.3mm Timing RPC, HV=3kV

Electronen, **positive Ionen**, **negative Ionen**, **Feld**





Simulationsergebnisse: Ladungsspektren Beispiel: Timing RPC



- Abweichung in den mittleren Ladungen von etwa einem Faktor 2.
- Zu vergleichen mit Faktor 10^7 ohne Raumladungseffekt!
- (7GeV Pionen, $T=296.15\text{K}$, $p=970\text{mb}$)

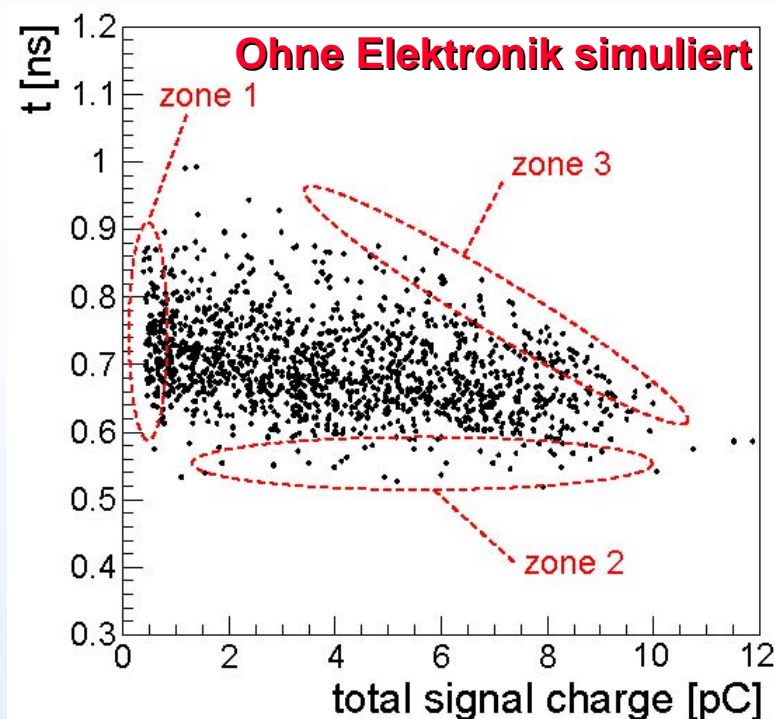
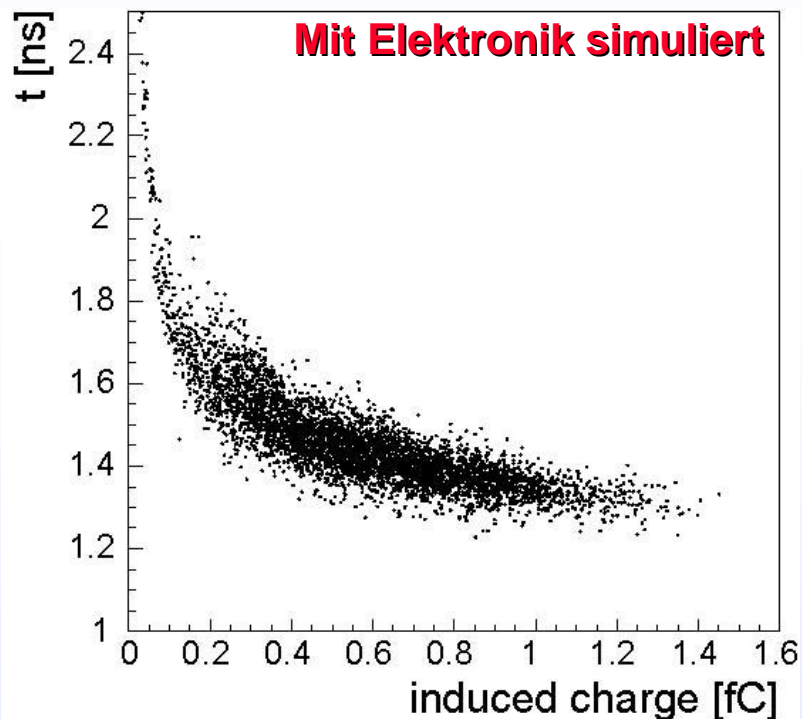
1.5D Simulation



Simulationsergebnisse: Ladung-Zeit-Korrelation



- ◆ Ladung-Zeit-Korrelationen werden bei Timing RPCs verwendet, um die Zeitauflösung zu verbessern.
- ◆ Gründe sind Elektronik und intrinsische Detektoreffekte
 - Zone 1: Grenze gegeben durch Schwellwert
 - Zone 2: Signale mit schneller Anstiegszeit sind nicht mit Ladung korreliert.
 - Zone 3: Signale mit langsamer Anstiegszeit sind mit Ladung korreliert.

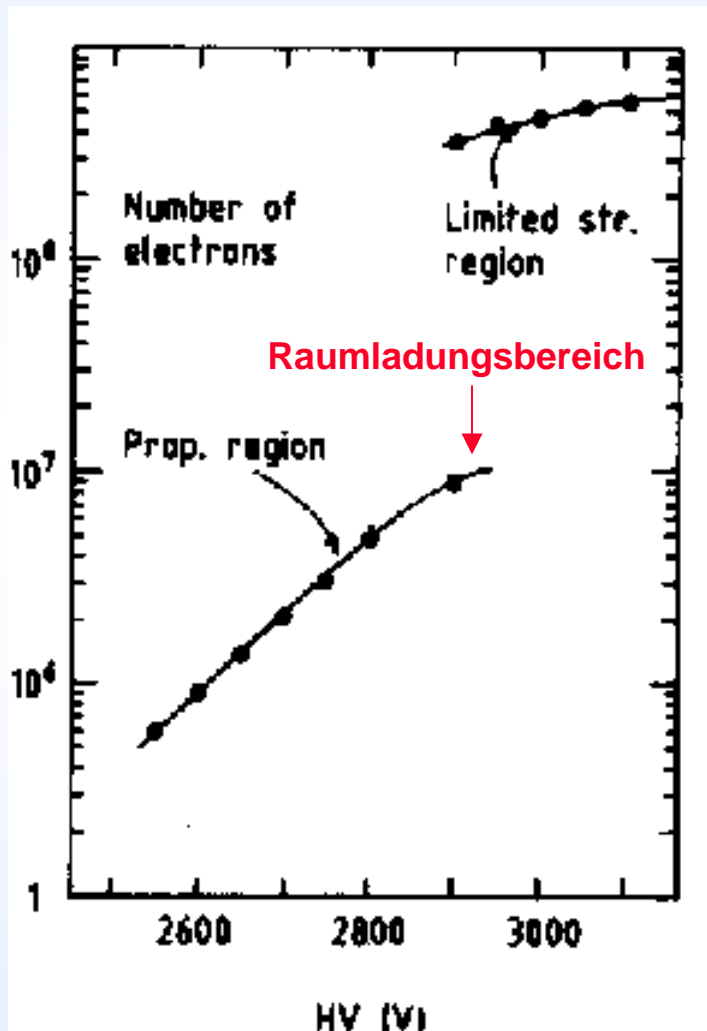




Vergleich des Betriebsmodus von Drahtkammer und RPC

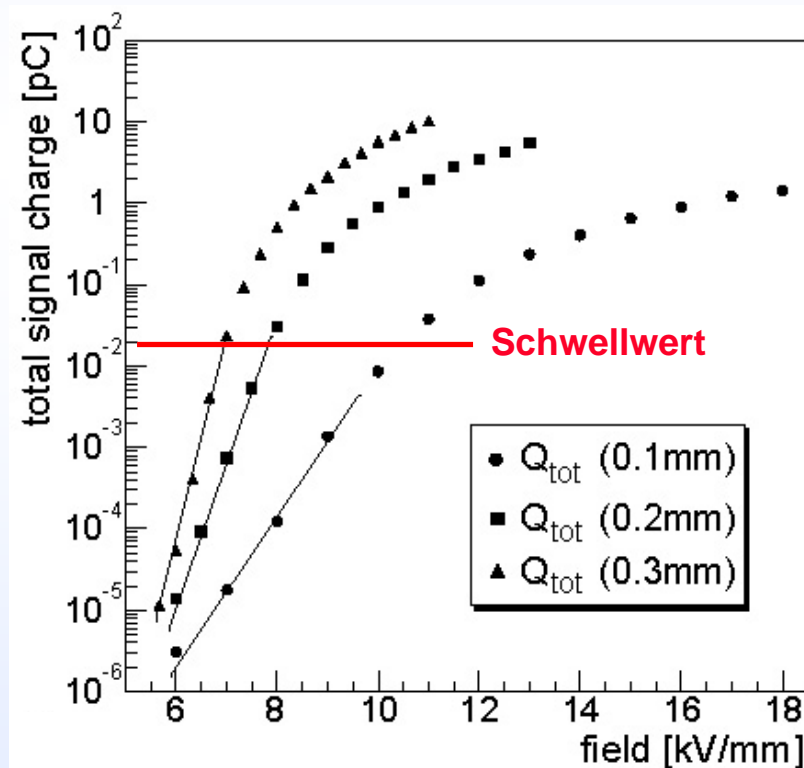


Drahtkammer/ Geiger-Müller-Rohr:



[NIM 200, 345 (1982)]

- ◆ **Timing RPC (Simulation)**
- ◆ Homogenes angelegtes Feld
- ◆ Proportionalitätsregion ist unterhalb jeden Schwellwerts
- ◆ Weiter Raumladungsbereich





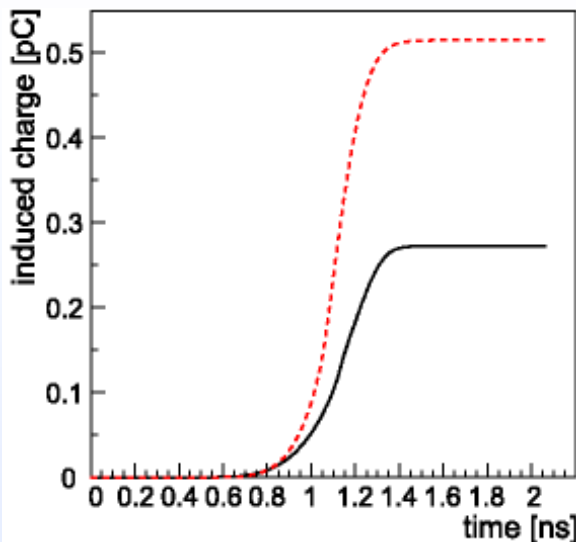
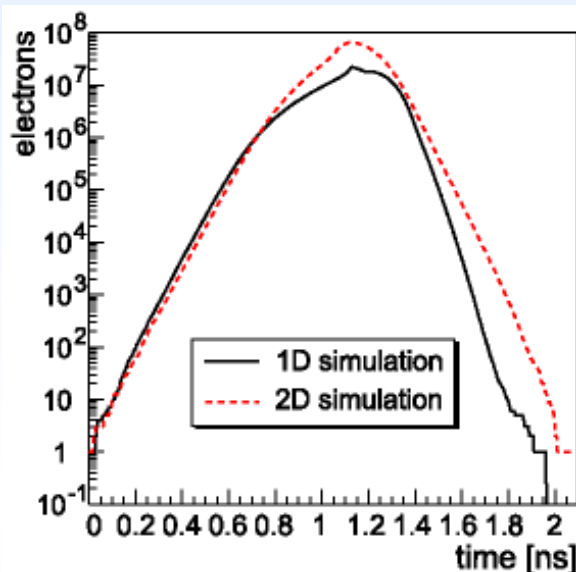
2-D Simulationen



- Der Gasspalt wird in ein zweidimensionales Netz der longitudinalen und der radialen Koordinaten geteilt.
- Die Lawine wird simuliert, indem ihre Entwicklung in Zeitschritte unterteilt wird, und das Raumladungsfeld (longitudinale und radiale Komponenten) an jedem Netzpunkt innerhalb der Lawine zu jedem Schritt berechnet wird.
- Die Gasparameter (Townsend Koeffizient, Elektronenanlagerungskoeffizient, Driftgeschwindigkeit, Diffusionskoeffizienten) werden dynamisch an jedem Netzpunkt berechnet.



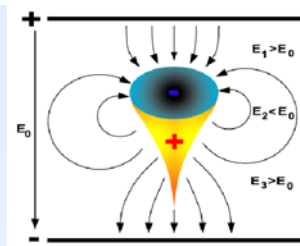
Vergleich der 1.5-D und 2-D Simulationen



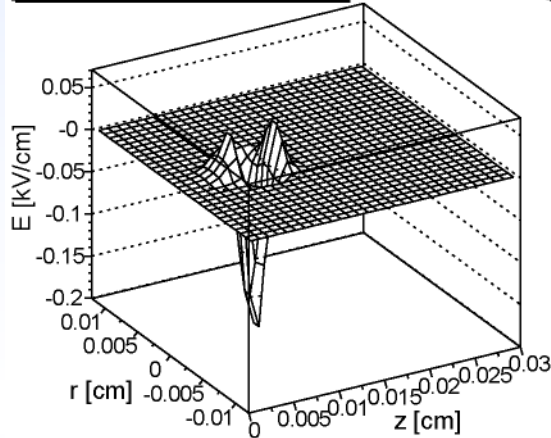
- ◆ Lawinen jeweils mit 1 Elektron an Kathode gestartet in 0.3 mm Timing RPC bei HV=2.8kV
- ◆ Sättigungseffekt (Raumladungseffekt) ist stärker bei 1.5-D Simulation:
 - 1) Feldberechnung nur im Zentrum der Lawine
 - 2) Keine radiale Abstoßung der Elektronen⇒ Berechnetes Raumladungsfeld ist im 1.5-D Fall etwas höher.
- ◆ Induzierte Ladung weicht etwa um Faktor 2 ab.



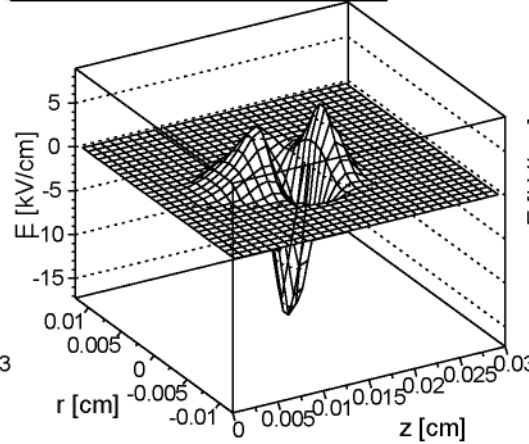
2D- Simulation: Raumladungsfeld



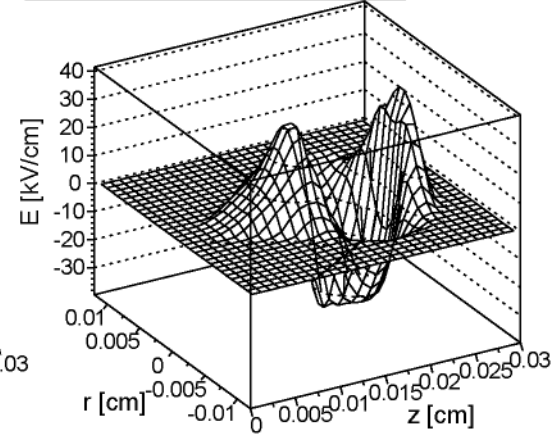
a) $t=0.48\text{ns}$; 6407 electrons



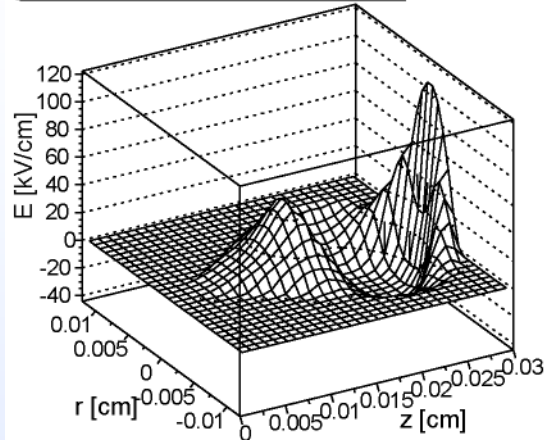
b) $t=0.76\text{ns}$; 1336129 electrons



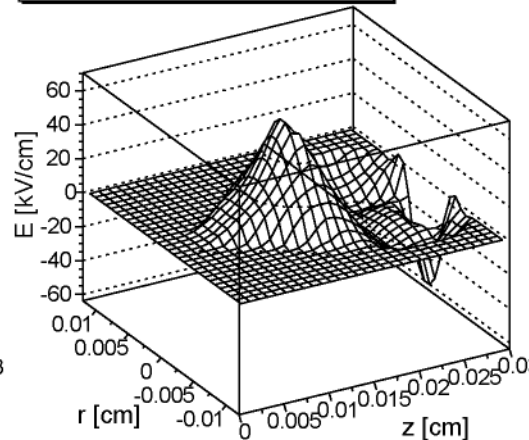
c) $t=0.95\text{ns}$; 13480643 electrons



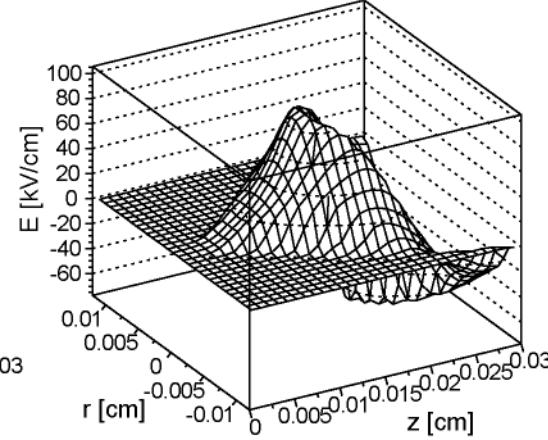
d) $t=1.05\text{ns}$; 32515291 electrons



e) $t=1.1\text{ns}$; 52649179 electrons



f) $t=1.86\text{ns}$; 38 electrons



Das Raumladungsfeld erreicht die Größenordnung des externen angelegten Feldes!



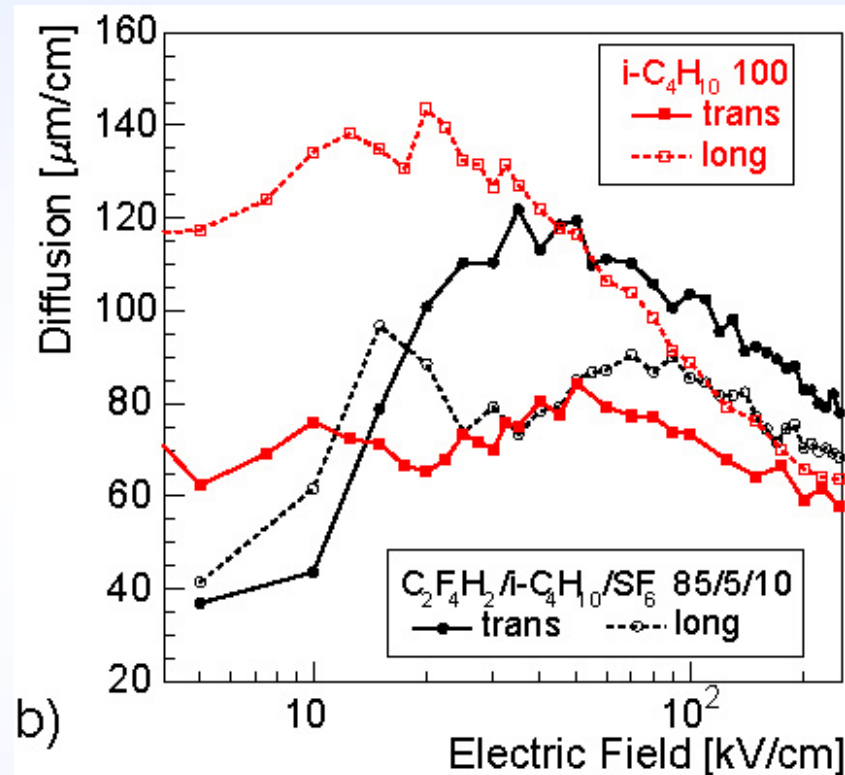
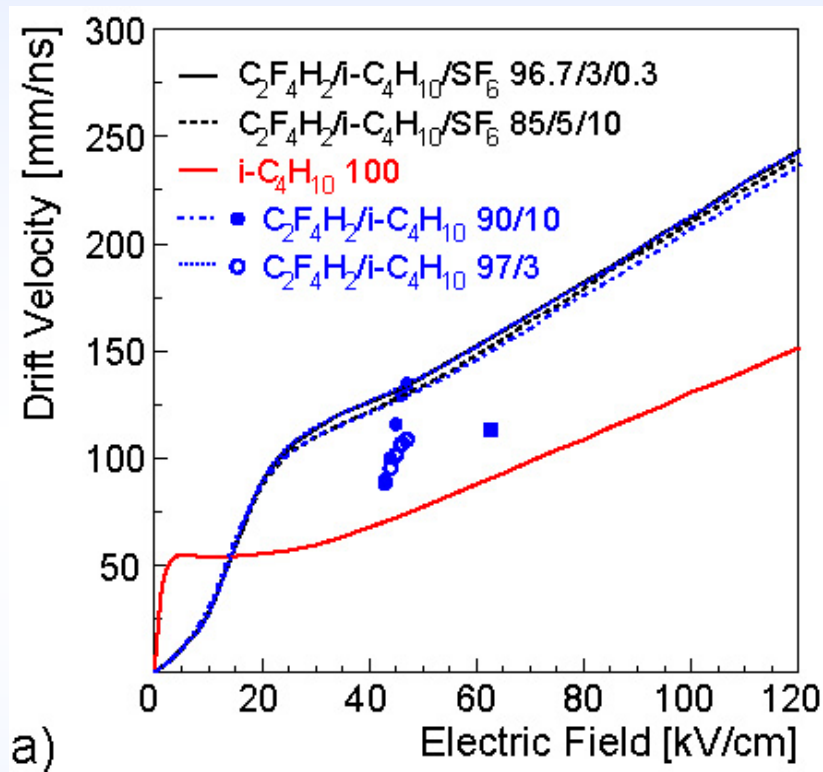
Zusammenfassung/ Schlussfolgerungen



- ◆ RPCs werden heute großflächig in Hochenergiephysikexperimenten eingesetzt.
- ◆ Fundamentale Fragen betreffend ihrer Effizienz und Ladungsspektren waren ungeklärt.
- ◆ Wir wenden Standarddetektorphysiksimulationen auf Timing und Trigger RPCs an und finden **gute Übereinstimmung** mit Messungen von Effizienz, Zeitauflösung und Ladungsspektren.
- ◆ Die Effizienz von Timing RPCs mit 0.3mm breiten Gasspalten wird erklärt durch etwa 10 Primärionisationszentren pro mm und einen Townsendkoeffizienten um 110/mm.
- ◆ RPCs werden im Gegensatz zu Drahtkammern in einem starken **Raumladungsmodus** betrieben. Der Unterdrückungsfaktor beträgt viele Größenordnungen!
- ◆ Die Ladung-Zeit-Korrelation hat elektronische und Detektor-intrinsische Ursachen.
- ◆ Detaillierte 2-D Simulationen unterstützen die Ergebnisse.



Input 3: Mehr Gasparameter



◆ Driftgeschwindigkeiten:

- **Trigger RPC** $\approx 130 \mu\text{m}/\text{ns}$, $T \approx 15\text{ns}$
- **Timing RPC** $\approx 220 \mu\text{m}/\text{ns}$, $T \approx 1.4\text{ns}$

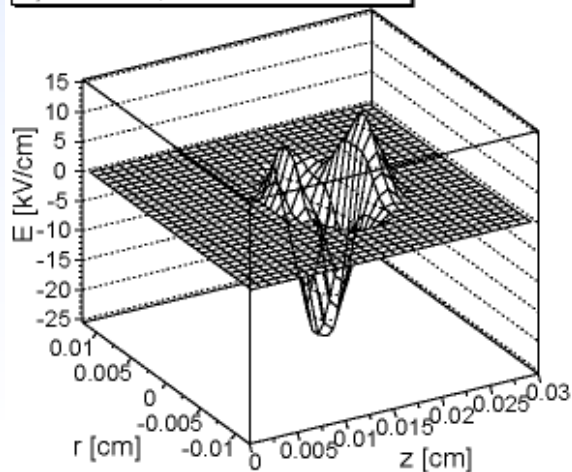
◆ Diffusion: $\approx 60\text{-}120 \mu\text{m}/\text{cm}$



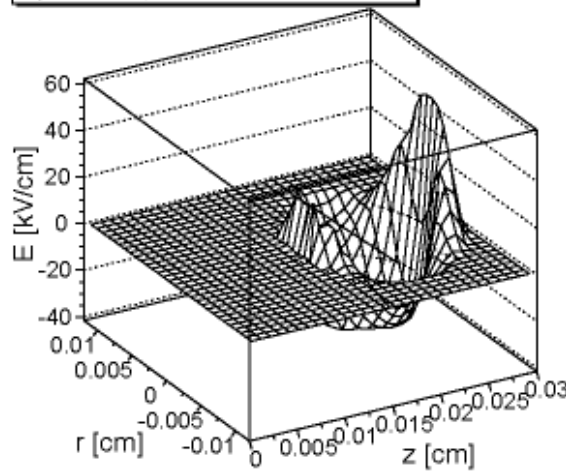
2D- Simulation: Elektrisches Feld an Positionen mit Elektronen



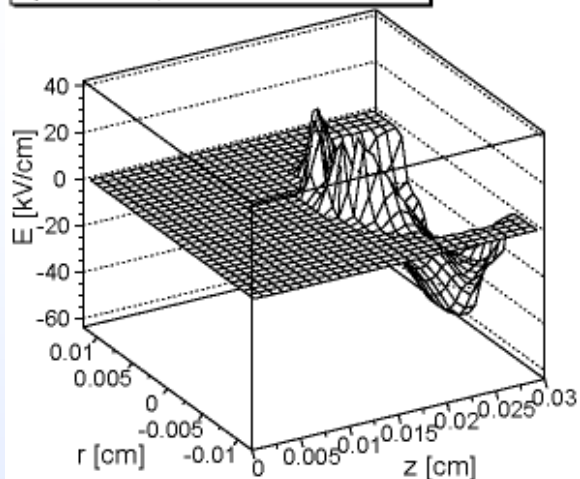
a) $t=0.81\text{ns}$; 2889257 electrons



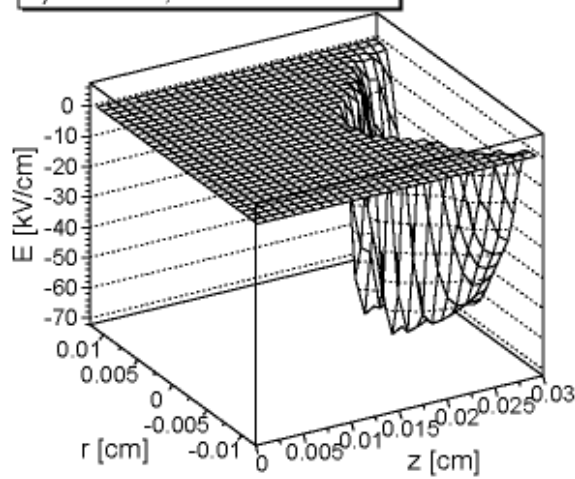
b) $t=1.0\text{ns}$; 21542574 electrons



c) $t=1.14\text{ns}$; 51029179 electrons



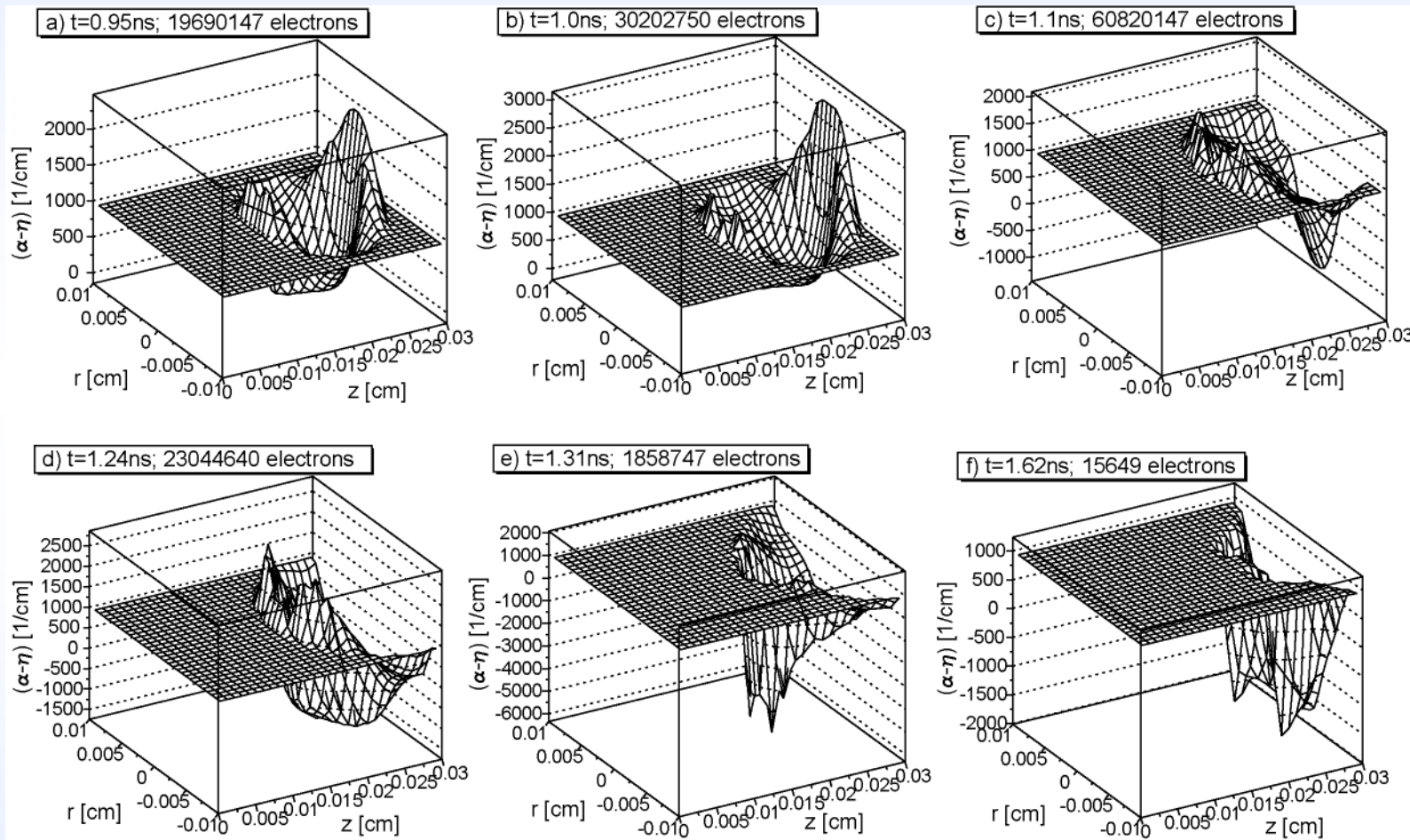
d) $t=1.48\text{ns}$; 252213 electrons



Das elektrische Feld ist an fast allen Stellen, an denen sich Elektronen befinden, stark erniedrigt, insbesondere im Endstadium!



2D- Simulation: Effektiver Townsend-Koeffizient



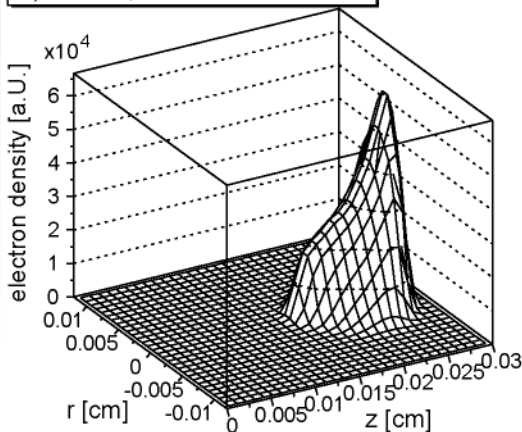
Der effektive Townsend Koeffizient schwankt zwischen +3000/cm und -6000/cm!



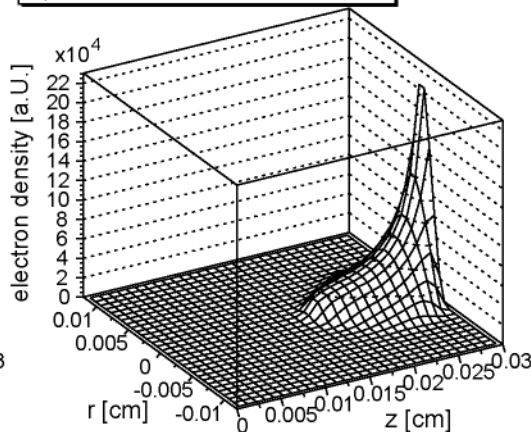
2D- Simulation: Elektronendichte



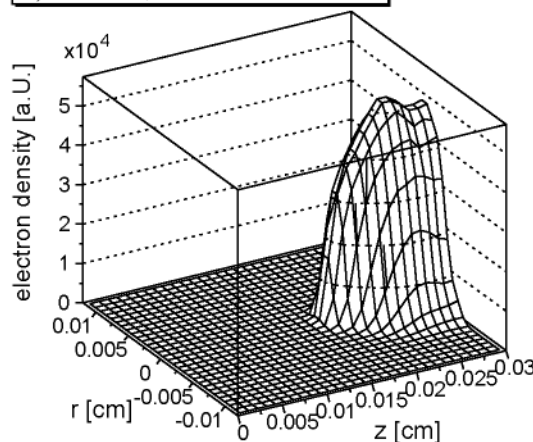
a) $t=1.0\text{ns}$; 22083969 electrons



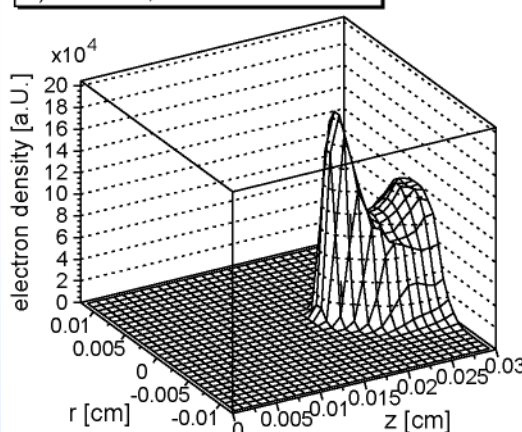
b) $t=1.05\text{ns}$; 38260973 electrons



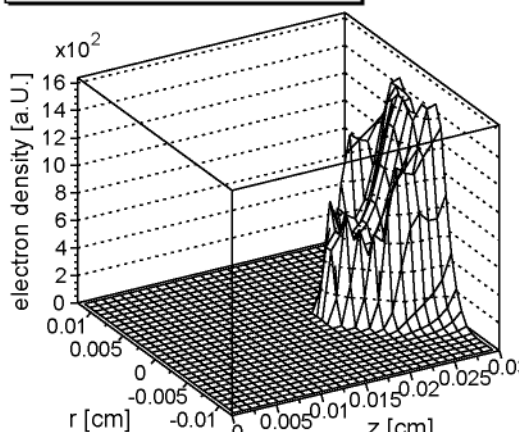
c) $t=1.19\text{ns}$; 32774968 electrons



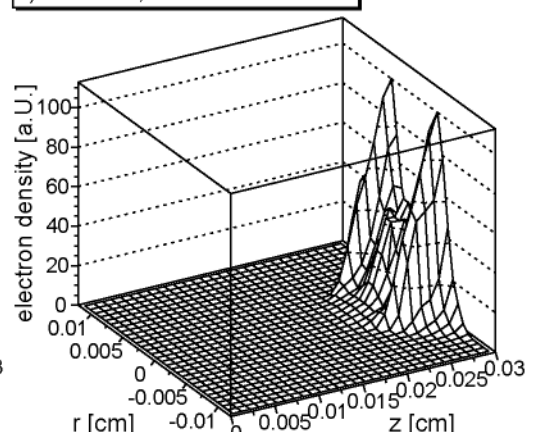
d) $t=1.29\text{ns}$; 8736025 electrons



e) $t=1.38\text{ns}$; 1134153 electrons



f) $t=1.52\text{ns}$; 50399 electrons



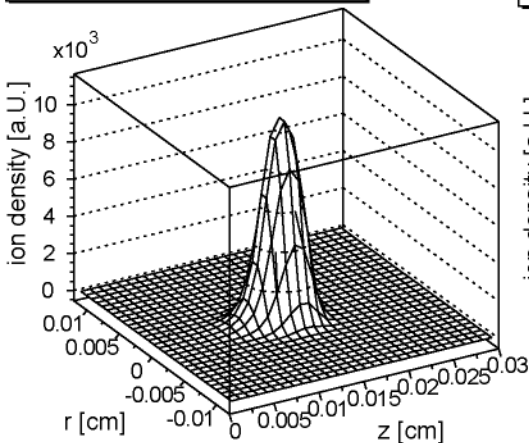
Im Endstadium der Lawine gibt es extrem starke Elektronenanlagerung.



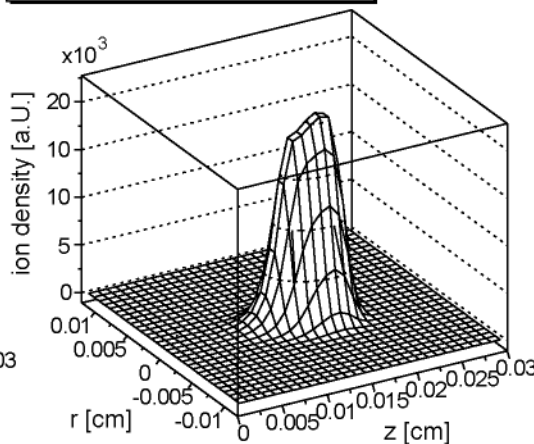
2D- Simulation: Ionendichte



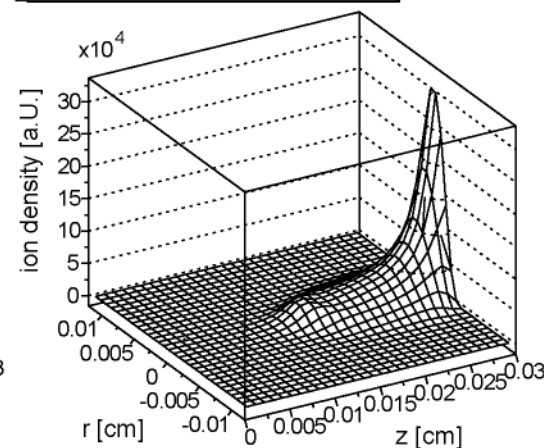
a) $t=0.71\text{ns}$; 1137675 electrons



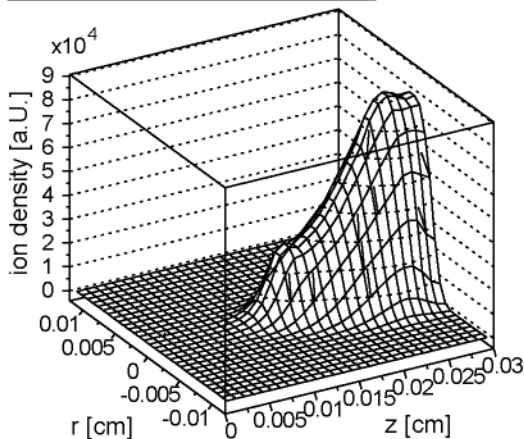
b) $t=0.81\text{ns}$; 4350748 electrons



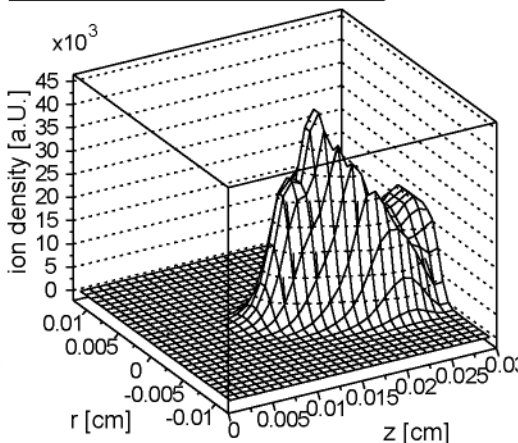
c) $t=1.05\text{ns}$; 47999684 electrons



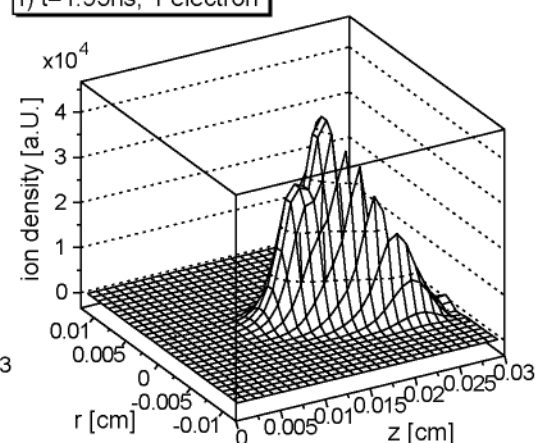
d) $t=1.14\text{ns}$; 44775867 electrons



e) $t=1.24\text{ns}$; 16629278 electrons



f) $t=1.95\text{ns}$; 1 electron



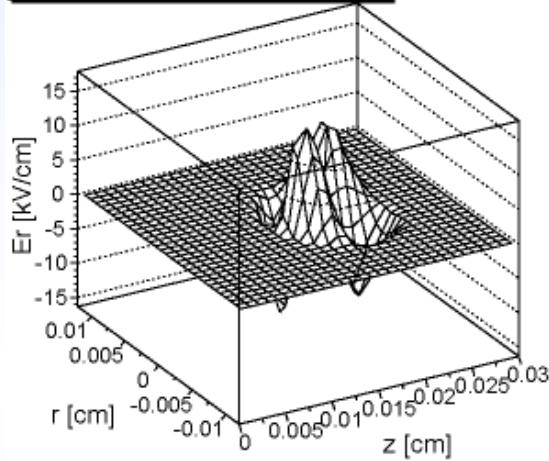
Durch Elektronenanlagerung entstehen viele negative Ionen in der Endphase.



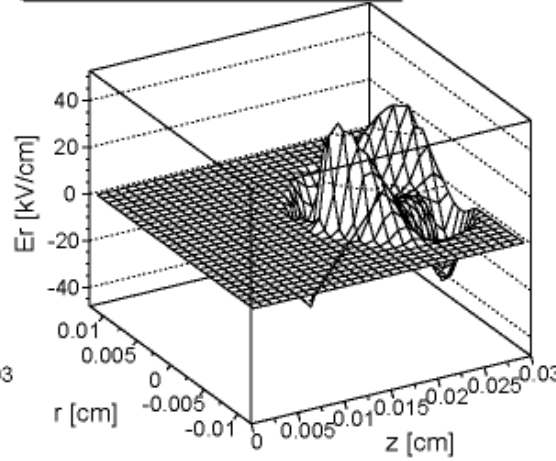
2D- Simulation: Radiales Feld



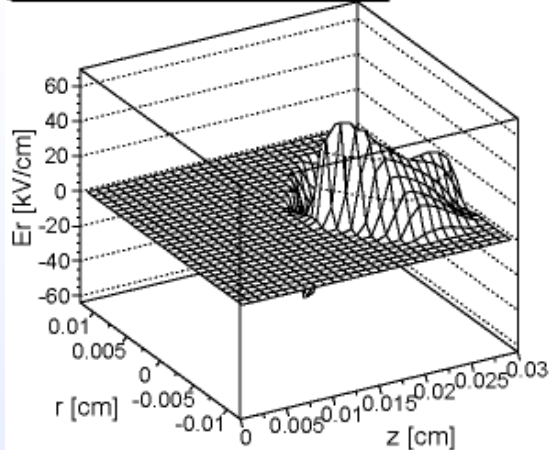
a) $t=0.81\text{ns}$; 3045683 electrons



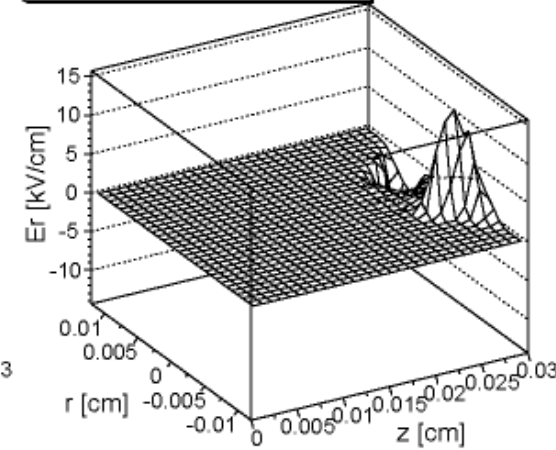
b) $t=1.0\text{ns}$; 22731823 electrons



c) $t=1.1\text{ns}$; 46929166 electrons



d) $t=1.57\text{ns}$; 12128 electrons



Das radiale
Raumladungsfeld
erreicht die
Größenordnung
des extern
angelegten
elektrischen
Feldes